

Cours de physique générale I

pour étudiants en section d'Informatique

(automne 2024)

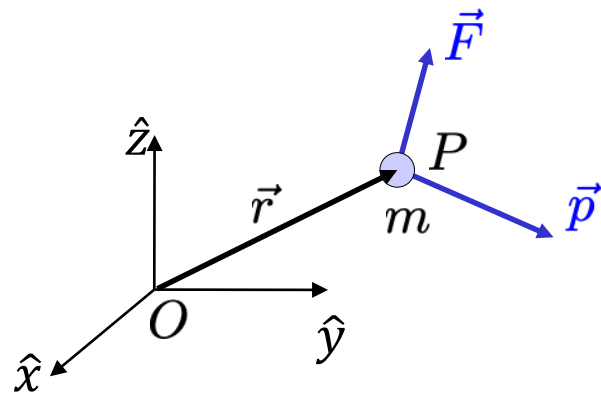
Dr. Stefano Rusponi
Laboratoire des nanostructures à la surface

Resumé

Site web du cours:

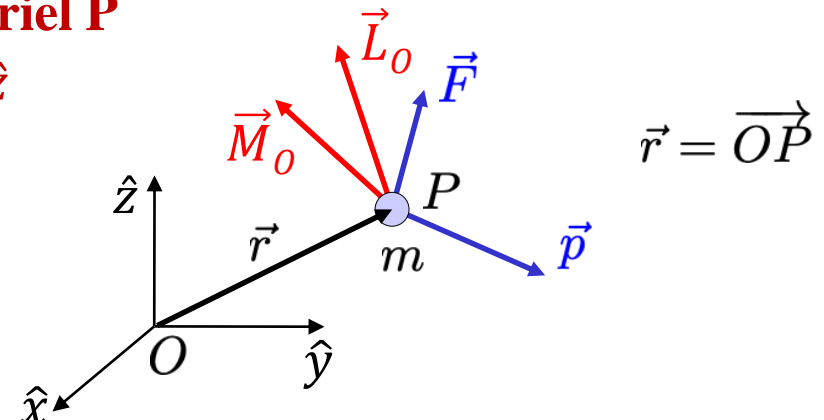
<https://moodle.epfl.ch/course/view.php?id=15445>

2ème loi de Newton et théorème du moment cinétique



pour un point matériel P

Référentiel $O\hat{x}\hat{y}\hat{z}$



$$\vec{r} = \overrightarrow{OP}$$

Résultante des forces:

$$\vec{F} = \sum \vec{F}_i$$

Moment de la résultante des force par rapport à un point O :

$$\vec{M}_O = \vec{r} \wedge \vec{F} = \sum \vec{r} \wedge \vec{F}_i$$

= 0 si force centrale

Quantité de mouvement

$$\vec{p} = m\vec{v}$$

Moment cinétique par rapport au point O :

$$\vec{L}_O = \vec{r} \wedge \vec{p} = \vec{r} \wedge m\vec{v}$$

2ème loi de Newton

$$\frac{d\vec{p}}{dt} = \vec{F}$$

équivalente à $\vec{F} = m\vec{a}$ si m constante

Théorème du moment cinétique

$$\frac{d\vec{L}_O}{dt} = \vec{M}_O$$

= 0 si force centrale

$$\frac{d\vec{L}_O}{dt} = \frac{d\vec{r}}{dt} \wedge m\vec{v} + \vec{r} \wedge \frac{d(m\vec{v})}{dt} = \vec{v} \wedge m\vec{v} + \vec{r} \wedge \vec{F} = \vec{r} \wedge \vec{F} = \vec{M}_O$$

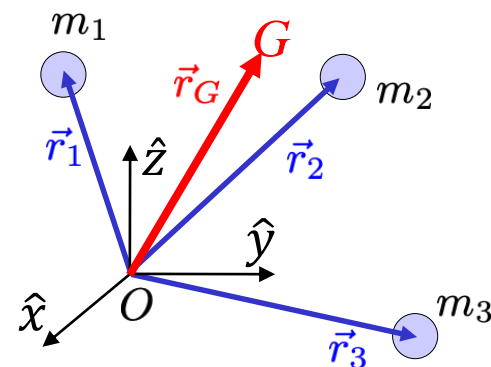
2ème loi de Newton et théorème du moment cinétique

système (indéformable ou pas) de points matériels P_i

Référentiel $O\hat{x}\hat{y}\hat{z}$

Centre de masse G

$$\vec{r}_G = \overrightarrow{OG} = \frac{\sum_{\alpha} m_{\alpha} \vec{r}_{\alpha}}{\sum_{\alpha} m_{\alpha}}$$



Résultante des forces \vec{F}

$$\vec{F} = \vec{F}^{ext} = \sum_i \vec{F}_i^{ext}$$

Quantité de mouvement

$$\vec{p} = \sum_i m_i \vec{v}_i = M \vec{v}_G$$

2ème loi de Newton

$$\vec{F}^{ext} = \frac{d\vec{p}}{dt} = M \vec{a}_G$$

Moment de la résultante des force \vec{M}_O par rapport à un point O :

$$\vec{M}_O = \vec{M}_O^{ext} = \sum_i \vec{r}_i \wedge \vec{F}_i^{ext}$$

Moment cinétique par rapport au point O :

$$\vec{L}_O = \sum_i \vec{r}_i \wedge m \vec{v}_i = \vec{L}_G + \overrightarrow{OG} \wedge M \vec{v}_G$$

Théorème du moment cinétique par rapport à O

$$\frac{d\vec{L}_O}{dt} = \vec{M}_O^{ext}$$

Collisions entre deux corps

- Peuvent être analysés sur la base des lois de conservation et permettent d'étudier les forces en jeu
- Modélisation: le système des deux corps est isolé

⇒ \vec{L}_{tot} et \vec{p}_{tot} conservés

(1) Bien avant le choc ($t \ll 0$):

- Les corps n'exercent aucune force l'un sur l'autre (ils sont très éloignés et on suppose une force à courte portée)
- Chaque corps est un système isolé

(2) Pendant le choc ($t \simeq 0$):

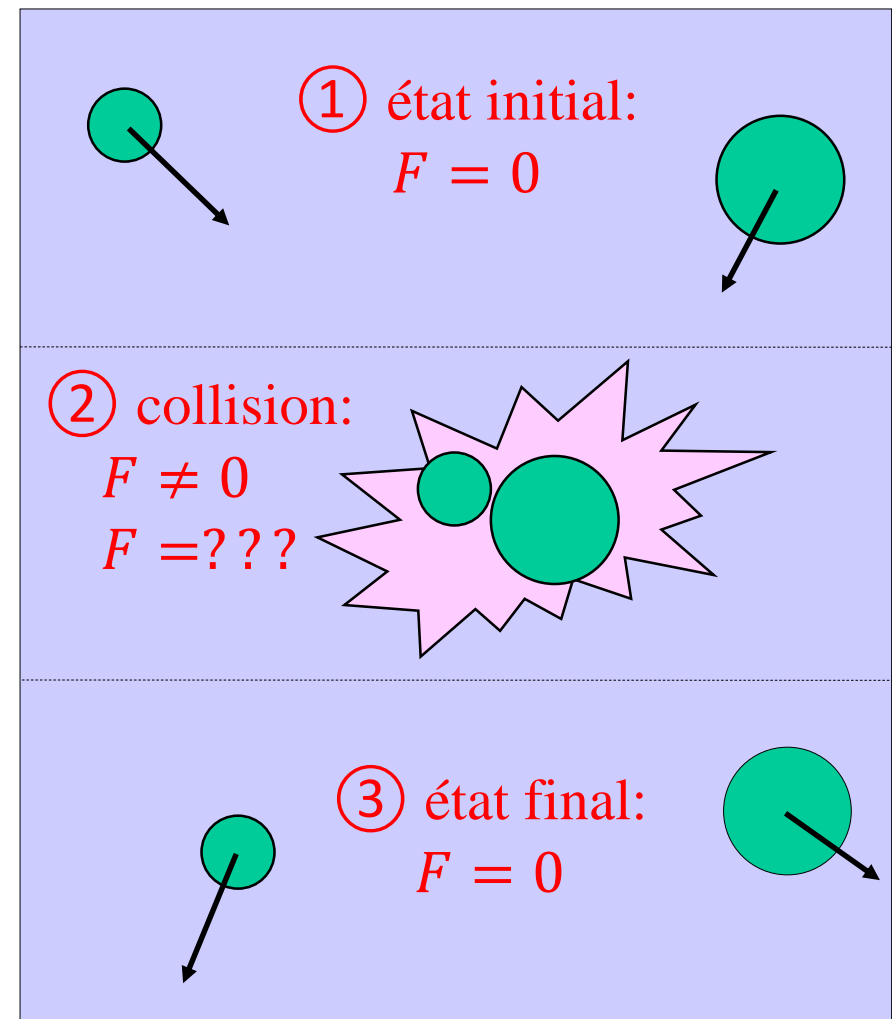
- Les corps interagissent, sous l'effet d'une force F (qu'on ne décrit pas)

(3) Bien après le choc ($t \gg 0$):

- Les corps sont à nouveau libres

état initial \neq état final: les corps ont échangé, entre autres, de la quantité de mouvement:

$$\Delta \vec{p} = \int_{\text{choc}} \vec{F} dt = \text{impulsion}$$



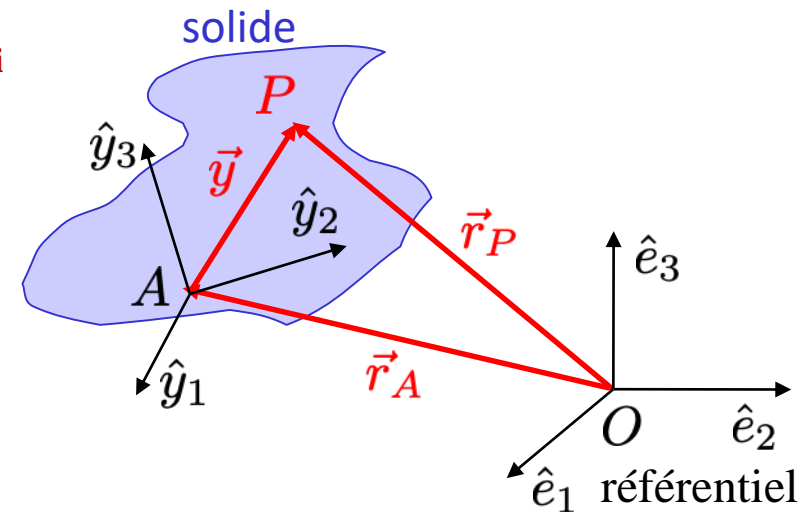
2ème loi de Newton et théorème du moment cinétique

système (indéformable ou pas) de points matériels P_i

Référentiel $O\hat{x}\hat{y}\hat{z}$

Centre de masse G

$$\vec{r}_G = \overrightarrow{OG} = \frac{\sum_{\alpha} m_{\alpha} \vec{r}_{\alpha}}{\sum_{\alpha} m_{\alpha}}$$



Théorème du transfert: $\vec{L}_A = \vec{L}_O + \overrightarrow{AO} \wedge M \vec{v}_G$

Théorème du moment cinétique par rapport à un point A quelconque:

$$\frac{d\vec{L}_A}{dt} = \vec{M}_A^{ext} - \vec{v}_A \wedge M \vec{v}_G$$

Cas particuliers: $\frac{d\vec{L}_A}{dt} = \vec{M}_A^{ext}$ si $\vec{v}_A = 0$

$\frac{d\vec{L}_A}{dt} = \vec{M}_A^{ext}$ si $\vec{v}_A \parallel \vec{v}_G$

$\frac{d\vec{L}_A}{dt} = \vec{M}_A^{ext}$ si $A = G$

Tenseur d'inertie par rapport à un point A du solide

- Par rapport à un point A appartenant au solide:

$$\vec{L}_A = \overrightarrow{AG} \wedge M\vec{v}_A + \sum_{\alpha} m_{\alpha} \left[(\overrightarrow{AP}_{\alpha})^2 \vec{\omega} - (\overrightarrow{AP}_{\alpha} \cdot \vec{\omega}) \overrightarrow{AP}_{\alpha} \right] = \overrightarrow{AG} \wedge M\vec{v}_A + \tilde{I}_A \cdot \vec{\omega}$$

\tilde{I}_A = tenseur d'inertie au point A d'éléments \tilde{I}_{Aij}

Matrice symétrique: $I_{Aij} = I_{Aji}$

$$\tilde{I}_A = \begin{pmatrix} I_{A11} & I_{A12} & I_{A13} \\ I_{A21} & I_{A22} & I_{A23} \\ I_{A31} & I_{A32} & I_{A33} \end{pmatrix} \neq \tilde{I}_G$$

Cas particuliers:

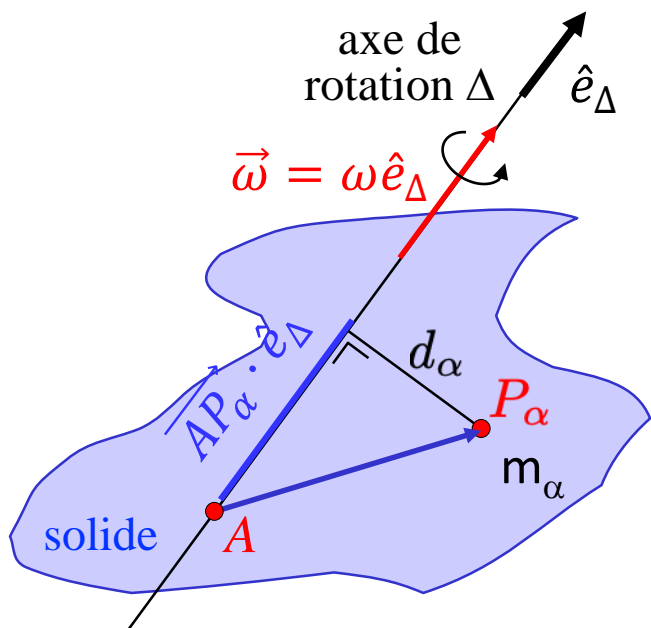
Si $\vec{v}_A = 0$ alors $\vec{L}_A = \tilde{I}_A \cdot \vec{\omega}$

Si $A = G$ alors $\vec{L}_G = \tilde{I}_G \cdot \vec{\omega}$

- Si A est un point sur l'axe de rotation Δ :

$$L_{\Delta} = \vec{L}_A \cdot \hat{e}_{\Delta} = \tilde{I}_A \cdot \vec{\omega} \cdot \hat{e}_{\Delta} = \omega \tilde{I}_A \cdot \hat{e}_{\Delta} \cdot \hat{e}_{\Delta} = \omega I_{\Delta}$$

$$I_{\Delta} = \sum_{\alpha} m_{\alpha} d_{\alpha}^2$$



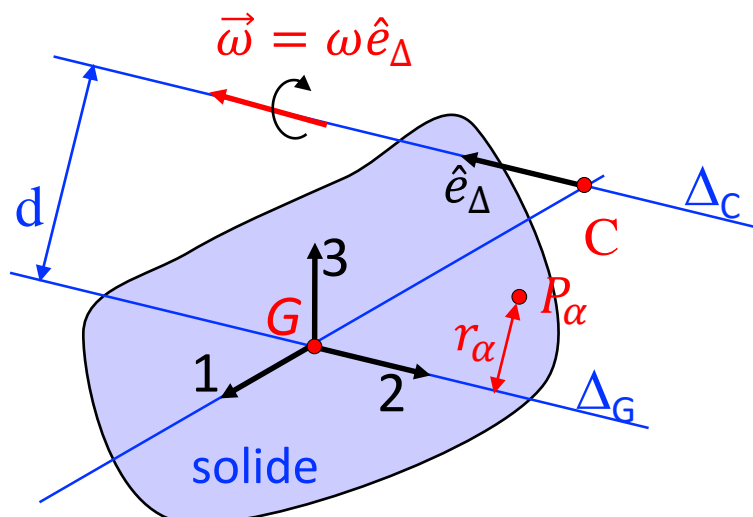
Axes principaux d'inertie et formule de Steiner

Pour tout point C d'un solide, il est toujours possible de choisir un repère orthonormé ([Repère d'inertie](#)) au point C tel que la matrice représentant le tenseur d'inertie soit diagonale :

$$\tilde{I}_C = \begin{pmatrix} I_1 & 0 & 0 \\ 0 & I_2 & 0 \\ 0 & 0 & I_3 \end{pmatrix}$$

[Moments d'inertie principaux](#) : moments d'inertie par rapport aux axes principaux d'inertie, c-à-d les éléments diagonaux de \tilde{I}_C dans le repère d'inertie

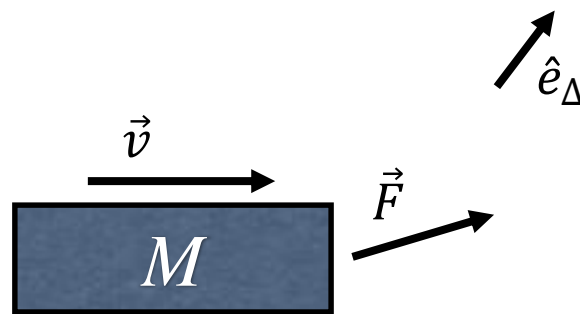
$$\vec{L}_C = \tilde{I}_C \cdot \vec{\omega} = \begin{pmatrix} I_1 & 0 & 0 \\ 0 & I_2 & 0 \\ 0 & 0 & I_3 \end{pmatrix} \begin{pmatrix} \omega_1 \\ \omega_2 \\ \omega_3 \end{pmatrix} = \begin{pmatrix} I_1\omega_1 \\ I_2\omega_2 \\ I_3\omega_3 \end{pmatrix}$$



$$I_{\Delta_C} = I_{\Delta_G} + md^2$$

Formule de Steiner

8.3 Masse (d'inertie) et moment d'inertie



2^{eme} loi de Newton

$$\begin{aligned} F_\Delta &= \vec{F} \cdot \hat{e}_\Delta = M \vec{a}_G \cdot \hat{e}_\Delta = M \frac{d\vec{v}_G \cdot \hat{e}_\Delta}{dt} \\ &= M \frac{dv_{G\Delta}}{dt} \end{aligned}$$

La MASSE (inertielle ou d'inertie)
mesure la résistance (inertie)
qu'oppose le corps à toute accélération
ou à toute modification de l'état de
MOUVEMENT (RECTILIGNE)

A diagram of a blue-shaded rigid body labeled "solide". A fixed axis of rotation Δ passes through the center of mass G , indicated by a red dot. A point P_α is located at a position vector \vec{r}_α from G , with a mass m_α attached. The angle between the position vector \vec{r}_α and the axis of rotation Δ is labeled d_α . A unit vector \hat{e}_Δ is shown along the axis of rotation, and a red arrow indicates the angular velocity $\vec{\omega} = \omega \hat{e}_\Delta$.

$$\begin{aligned} L_\Delta &= \vec{L}_G \cdot \hat{e}_\Delta = \omega \sum_\alpha m_\alpha d_\alpha^2 = I_\Delta \omega \\ M_\Delta &= \vec{M}_G \cdot \hat{e}_\Delta = \frac{d\vec{L}_G}{dt} \cdot \hat{e}_\Delta = \frac{dL_G \cdot \hat{e}_\Delta}{dt} = \frac{dL_\Delta}{dt} \\ &= I_\Delta \frac{d\omega}{dt} \end{aligned}$$

La MOMENT D'INERTIE mesure
la résistance qu'oppose le corps à
toute modification de l'état de
ROTATION.

Théorèmes de l'énergie

$$W_{12} = \int_1^2 dW = \int_1^2 \vec{F} \cdot d\vec{r}$$

Travail de la force \vec{F}

$$W_{12} = \int_1^2 \vec{F} \cdot d\vec{r} = K_2 - K_1$$

Théorème de l'énergie cinétique:
La variation de l'énergie cinétique est égale au travail de la somme des forces

N.B.: Pour un système de points (solide ou pas)

$$W_{12} = \int_1^2 \vec{F}^{ext} \cdot d\vec{r} = K_2 - K_1$$

$$E = K + V(\vec{r}) = \text{ constante}$$

Théorème de l'énergie mécanique:
Pour des forces conservatives, l'énergie mécanique E est conservée

$$\vec{F} = - \begin{pmatrix} \frac{\partial V(\vec{r})}{\partial x} \\ \frac{\partial V(\vec{r})}{\partial y} \\ \frac{\partial V(\vec{r})}{\partial z} \end{pmatrix} = -\vec{\nabla}V(\vec{r})$$

Energie cinétique d'un solide

- Pour un point A quelconque du solide:

$$E_{cin} = K = \frac{1}{2} M \vec{v}_A^2 + M \vec{v}_A \cdot (\vec{\omega} \wedge \overrightarrow{AG}) + \frac{1}{2} \vec{\omega} \cdot \tilde{I}_A \cdot \vec{\omega}$$

Cas particuliers

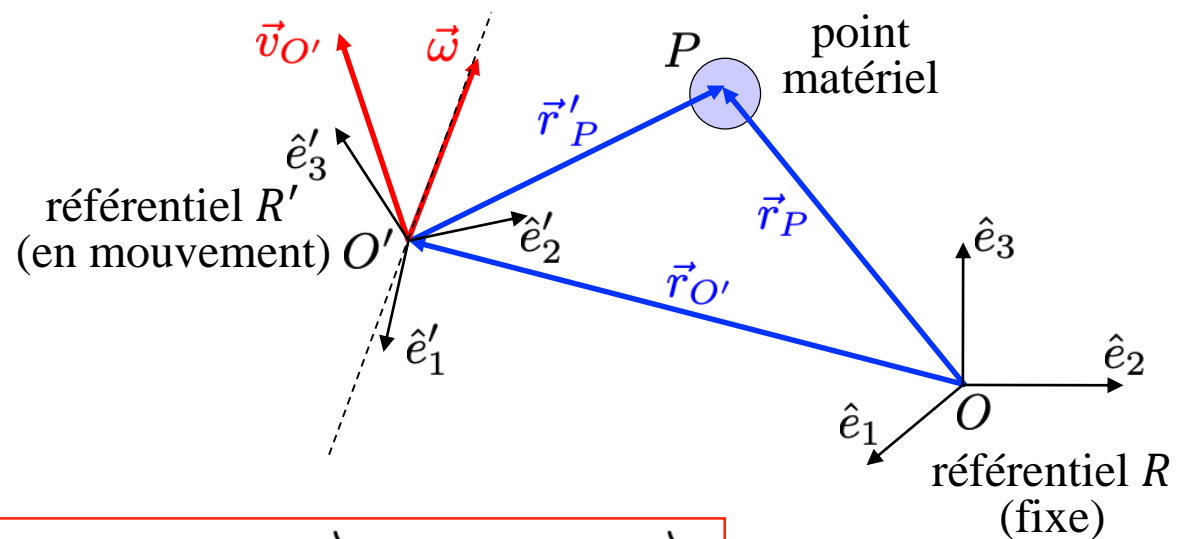
$$\text{- Si } \vec{v}_A = 0 \quad \Rightarrow \quad E_{cin} = \frac{1}{2} \vec{\omega} \cdot \tilde{I}_A \cdot \vec{\omega} = \frac{1}{2} \vec{\omega} \cdot \tilde{I}_{\Delta_A} \omega \hat{e}_{\Delta} = \frac{1}{2} \tilde{I}_{\Delta_A} \omega^2$$

$$\begin{array}{ccc}
 -\text{ Si } A = G & \xrightarrow{\hspace{1cm}} & E_{cin} = \frac{1}{2}Mv_g^2 + \frac{1}{2}\tilde{I}_{\Delta_G}\omega^2 \\
 M\vec{v}_G \cdot (\vec{\omega} \wedge \overrightarrow{GG}) = 0 & & \xleftarrow{\hspace{1cm}}
 \end{array}
 \qquad \qquad \qquad
 \begin{array}{c}
 K = K^* + \frac{1}{2}Mv_G^2 \\
 K^* = \frac{1}{2}\tilde{I}_{\Delta_G}\omega^2
 \end{array}$$

2eme théorème de König

Changement de référentiel

$$\vec{v}_P = \vec{v}'_P + \vec{v}_{O'} + \vec{\omega} \wedge \overrightarrow{O'P}$$



$$\vec{a}_P = \vec{a}'_P + 2\vec{\omega} \wedge \vec{v}'_P + \vec{a}_{O'} + \vec{\omega} \wedge (\vec{\omega} \wedge \overrightarrow{O'P}) + \dot{\vec{\omega}} \wedge \overrightarrow{O'P}$$



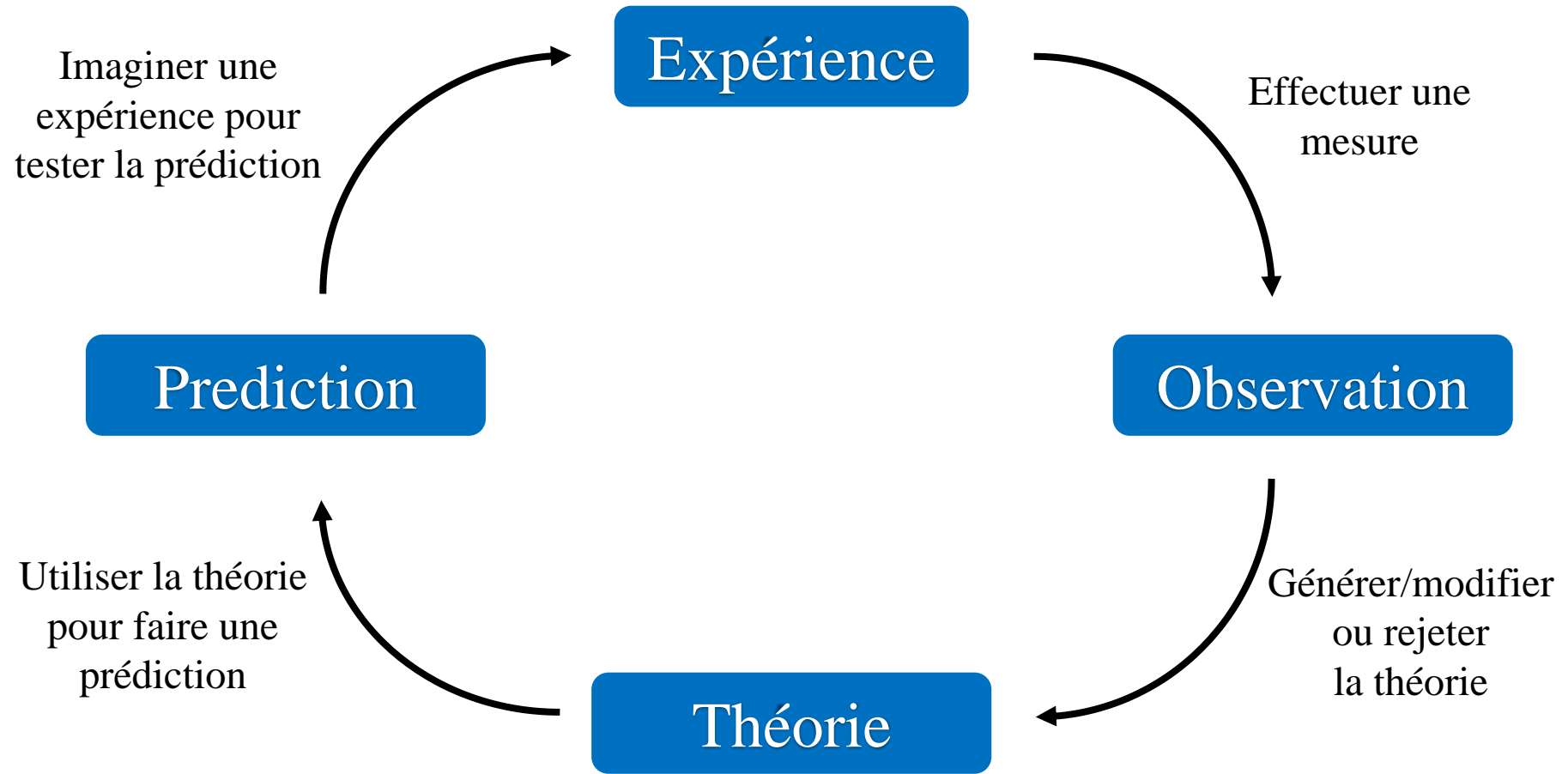
Dans un référentiel R' accéléré par rapport à R , on a:

$$m\vec{a}'_P = \sum \vec{F}^{ext} - (2m\vec{\omega} \wedge \vec{v}'_P + m\vec{a}_{O'} + m\vec{\omega} \wedge (\vec{\omega} \wedge \overrightarrow{O'P}) + m\dot{\vec{\omega}} \wedge \overrightarrow{O'P})$$

force de Coriolis

force centrifuge

La méthode scientifique de Galilée



Il faut apprendre la méthode scientifique
pour résoudre n'importe quel type de problème

La mécanique (qui décrit notre quotidien) est le meilleur exercice

Examen

Vendredi 17 Janvier 2025 de 09h15 à 12h45

Travail individuel en silence, totalement dédié, sans interaction avec une autre personne

Matériel autorisé: papier vierge, stylos, crayons, gomme, règle, taille-crayon

formulaire personnel manuscrit de 2 pages A4 (= 1 feuille A4 recto-verso)

la feuille de texte de l'examen
comprend ce formulaire

Formulaire

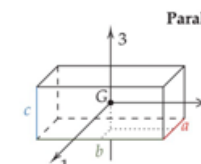
Coordonnées cylindriques

$$\begin{aligned}\vec{r} &= \rho \hat{e}_\rho + z \hat{e}_z \\ \vec{v} &= \dot{\rho} \hat{e}_\rho + \rho \dot{\phi} \hat{e}_\phi + \dot{z} \hat{e}_z \\ \vec{a} &= \left(\ddot{\rho} - \rho \dot{\phi}^2 \right) \hat{e}_\rho + \left(\rho \ddot{\phi} + 2\dot{\rho} \dot{\phi} \right) \hat{e}_\phi + \ddot{z} \hat{e}_z\end{aligned}$$

Coordonnées sphériques

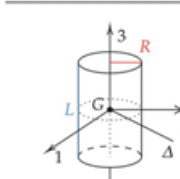
$$\begin{aligned}\vec{r} &= r \hat{e}_r \\ \vec{v} &= \dot{r} \hat{e}_r + r \dot{\theta} \hat{e}_\theta + r \dot{\phi} \sin \theta \hat{e}_\phi \\ \vec{a} &= \left(\ddot{r} - r \dot{\theta}^2 - r \dot{\phi}^2 \sin^2 \theta \right) \hat{e}_r + \left(r \ddot{\theta} + 2r \dot{\theta} \dot{\phi} \sin \theta \cos \theta \right) \hat{e}_\theta + \left(r \ddot{\phi} \sin \theta + 2r \dot{\phi} \dot{\theta} \sin \theta + 2r \dot{\phi} \dot{\theta} \cos \theta \right) \hat{e}_\phi\end{aligned}$$

Moments d'inertie usuels



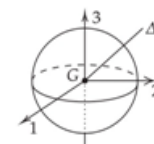
Parallélépipède rectangle plein

$$\begin{cases} I_1 = \frac{1}{12} M (b^2 + c^2) \\ I_2 = \frac{1}{12} M (c^2 + a^2) \\ I_3 = \frac{1}{12} M (a^2 + b^2) \end{cases}$$



Cylindre de révolution

$$\begin{array}{ll} \text{Plein : } & I_1 = I_2 = I_\Delta = \frac{1}{4} MR^2 + \frac{1}{12} ML^2 \\ & I_3 = \frac{1}{2} MR^2 \\ \text{Creux : } & I_1 = I_2 = I_\Delta = \frac{1}{2} MR^2 + \frac{1}{2} ML^2 \\ & I_3 = MR^2 \end{array}$$



Sphère

$$\begin{array}{l} \text{Boule pleine : } I_1 = I_2 = I_3 = I_\Delta = \frac{2}{5} MR^2 \\ \text{Sphère creuse : } I_1 = I_2 = I_3 = I_\Delta = \frac{2}{3} MR^2 \end{array}$$